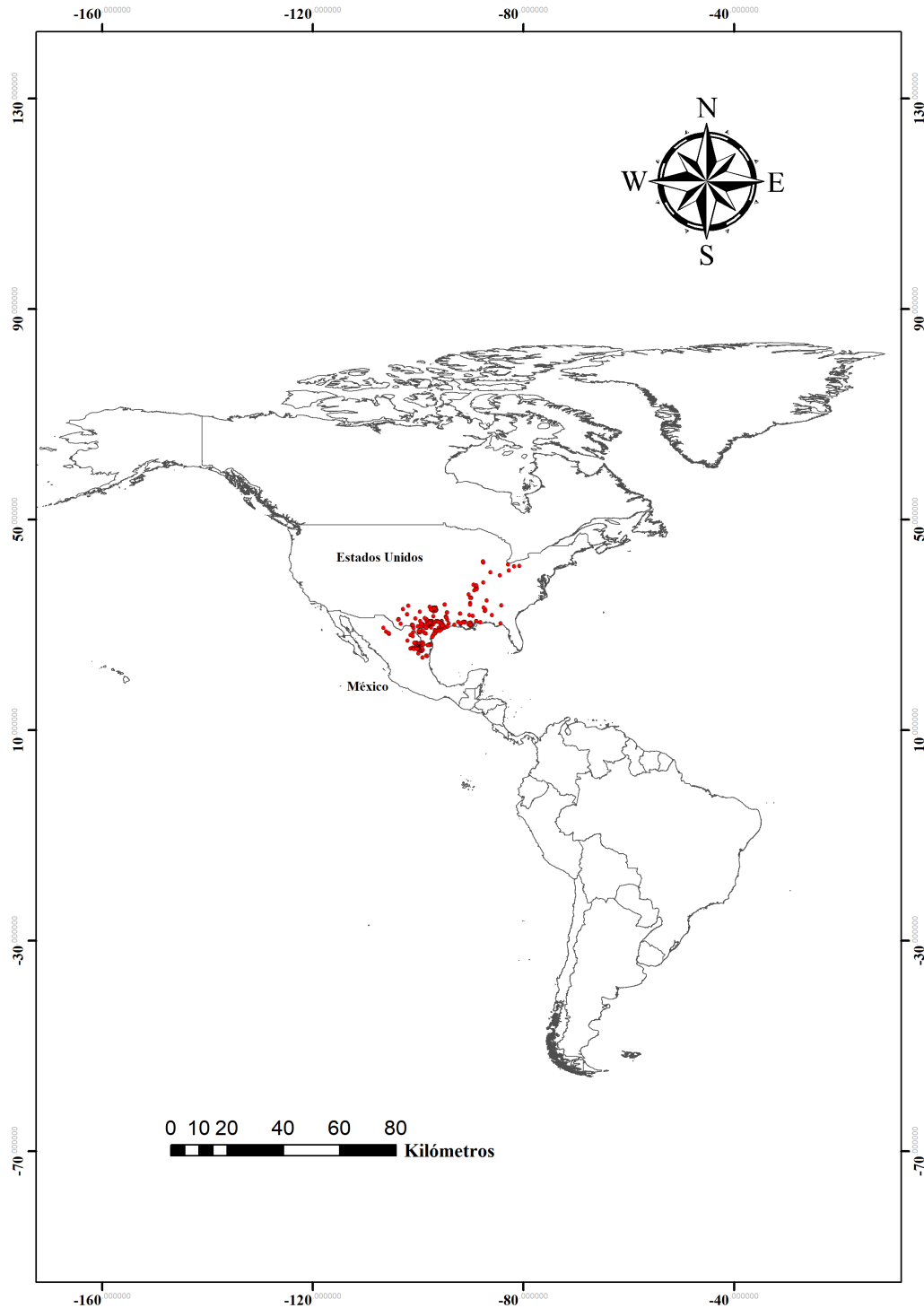


## APÉNDICE DIGITAL 1

Datos de presencia de *Procambarus clarkii* en su área nativa. Círculos en rojo indican el M (accesibilidad o capacidad de dispersión la especie) para el área de calibración del modelo.  
Sistema de coordenadas WGS84

## DIGITAL APPENDIX 1

Presence data of *Procambarus clarkii* in its native area. Circles in red shows the M (accessibility or dispersal capacity of the species) for calibration area of the model The WGS84 coordinate system



## APÉNDICE DIGITAL 2

Variables hidroclimáticas usadas para el análisis de correlación de Pearson y análisis de Jackknife

## DIGITAL APPENDIX 2

Hydroclimate variables (freshwater environmental variables) used for the Pearson correlation analysis and Jackknife analysis

| Variables hidroclimáticas  | Variables incluidas en el modelo  | Porcentaje de contribución al modelo (%) |
|--|---|--|
| <p><b>Hidro1</b> = temperatura media anual río arriba</p> <p><b>Hidro2</b> = rango de temperaturas diurnas río arriba (media mensual (max temp - min temp))</p> <p><b>Hidro3</b> = isothermalidad río arriba (hydro_02 / hydro_07) (* 100)</p> <p><b>Hidro4</b> = estacionalidad en la temperatura río arriba (desviación estándar *100)</p> <p><b>Hidro5</b> = temperatura máxima del mes más cálido río arriba</p> <p><b>Hidro6</b> = temperatura mínima del mes más frío río arriba</p> | <p><b>Hidro*15</b> = estacionalidad en la precipitación río arriba (coeficiente de variación)</p> | 35.9                                     |
|  | <p><b>Hidro*13</b> = precipitación del mes más lluvioso río arriba</p>                            | 20.2                                     |
|  | <p><b>Hidro*6</b> = temperatura mínima del mes más frío río arriba</p>                            | 8.5                                      |
|  | <p><b>Hidro*1</b> = temperatura media anual río arriba</p>  | 7.8                                      |
|  | <p><b>Hidro*16</b> = precipitación del trimestre más lluvioso río arriba</p>                      | 6.6                                      |
|  | <p><b>Hidro*9</b> = temperatura media del trimestre más seco río arriba</p>                       | 5.6                                      |

|  |  |     |
|--|--|-----|
| <b>Hidro7</b> = rango anual de temperatura río arriba (hidro_05 - hidro_06)  | <b>Hidro*5</b> = temperatura máxima del mes más cálido río arriba        | 5.2 |
| <b>Hidro8</b> = temperatura media del trimestre más lluvioso río arriba<br><br><b>Hidro9</b> = temperatura media del trimestre más seco río arriba<br><br><b>Hidro10</b> = temperatura media del trimestre más cálido río arriba<br><br><b>Hidro11</b> = temperatura media del trimestre más frío río arriba<br><br><b>Hidro12</b> = precipitación anual río arriba<br><br><b>Hidro13</b> = precipitación del mes más lluvioso río arriba<br><br><b>Hidro14</b> = precipitación del mes más seco río arriba<br><br><b>Hidro15</b> = estacionalidad en la precipitación río arriba (coeficiente de variación)<br><br><b>Hidro16</b> = precipitación del trimestre más lluvioso río arriba<br><br><b>Hidro17</b> = precipitación del trimestre más seco río arriba<br><br><b>Hidro18</b> = precipitación del trimestre más cálido río arriba | <b>Hidro*3</b> = isoterma río arriba                                     | 4.8 |
|  | <b>Hidro*8</b> = temperatura media del trimestre más lluvioso río arriba | 3.2 |
|  | <b>Hidro*12</b> = precipitación anual río arriba                         | 2.2 |
|  | <b>Hidro*14</b> = precipitación del mes más seco río arriba              | 0   |
|  | <b>Hidro*17</b> = precipitación del trimestre más seco río arriba        | 0   |

|  |  |  |
|--|--|--|
| <i>Hidro19</i> = precipitación del trimestre más frío río arriba |  |  |
|--|--|--|

| APÉNDICE   | Repetición | ROC parcial     | P-valor  | DIGITAL 3  |
|--|------------|-----------------|----------|--|
| Resultados del ROC parcial para el AUC de estadística para de modelos de | 1          | 1.436217        | 0        | análisis de la (valor medio ratio) prueba significancia predicciones nicho |
|  | 2          | 1.423109        | 0        |  |
|  | 3          | 1.455922        | 0        |  |
|  | <b>4</b>   | <b>1.509738</b> | <b>0</b> |  |
|  | 5          | 1.442996        | 0        |  |
|  | 6          | 1.426072        | 0        |  |
| DIGITAL  | 7          | 1.373134        | 0.002    | APPENDIX 3 partial ROC value for the of statistical for niche              |
| Results of the analysis (mean AUC ratio) test significance               | 8          | 1.457061        | 0        |  |
|  | 9          | 1.478004        | 0        |  |
|  | 10         | 1.396646        | 0        |  |
|  |            |                 |          |  |

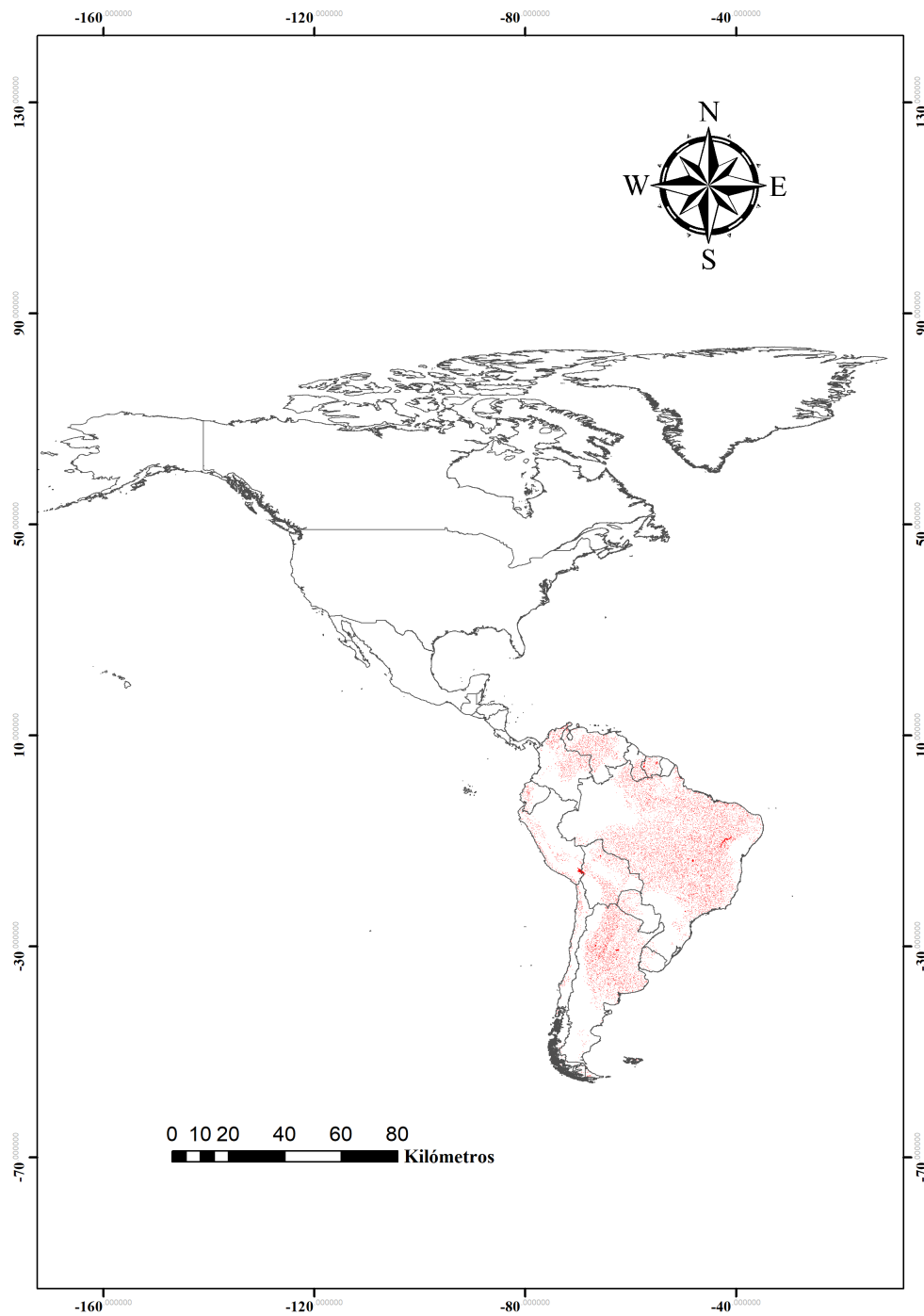
model predictions

#### APÉNDICE DIGITAL 4

Distribución potencial de *Procambarus clarkii* en Suramérica. Las áreas más oscuras (en rojo) representan las áreas ambientalmente idóneas para el establecimiento de la especie. Sistema de coordenadas WGS84

#### DIGITAL APPENDIX 4

Potential distribution of *Procambarus clarkii* in Suramerica. The darkness area (in red) shows the environmental suitable areas for the specie establishment. The WGS84 coordinate system



#### APÉNDICE DIGITAL 5

Distribución potencial de *Procambarus clarkii* en Colombia. Las áreas más oscuras (en rojo) representan las áreas ambientalmente idóneas para el establecimiento de la especie. Las estrellas azules, indican la presencia conocida en Departamentos (Valle del Cauca, Cundinamarca y Boyacá). Sistema de coordenadas WGS84

## DIGITAL APPENDIX 5

Potential distribution of *Procambarus clarkii* in Colombia. The darker areas (in red) show the environmental suitable areas for the specie establishment. The blue stars indicate the current presence in departments (Valle del Cauca, Cundinamarca and Boyacá). The WGS84 coordinate system

